基于SiC器件的三电平ANPC牵引变流器 损耗分析

刘伟志1,2

(1.中国铁道科学研究院集团有限公司 机车车辆研究所,北京 100081; 2.北京纵横机电科技有限公司,北京 100094)

摘要:在大功率牵引变流器中,采用具有开关速度快、耐高温、开关损耗低等诸多优势的SiC器件替代Si器件,并构建基于SiC器件的三电平ANPC变换器,可以大大减轻变流器的散热系统负担,有助于实现牵引系统轻量化,提升变流器的功率密度和整体效率。对4种三电平ANPC变换器拓扑(2种SiC+Si的混合型三电平ANPC拓扑、全SiC型三电平ANPC拓扑和全Si型三电平ANPC拓扑)及适用于不同拓扑结构的调制策略进行了详细的分析。结合4种拓扑工作于各自最优调制策略下的换流过程,对不同拓扑的功率损耗和热平衡特性等方面通过仿真验证进行了定量分析比较。结果表明,全SiC型三电平ANPC拓扑损耗分布最均衡,工作效率最高;2-SiC混合型三电平ANPC拓扑在保证性能的基础上成本更低,可以作为采用SiC器件的牵引变流器的一种较高性价比的选择。

关键词:三电平有源中点钳位变换器;损耗分析;脉宽调制;碳化硅

中图分类号: TM28 文献标识码: A DOI: 10.19457/j.1001-2095.dqcd24649

Design and Loss Analysis of Three-level ANPC Topology Based on SiC Device in Traction Drive System

LIU Weizhi1,2

(1. Locomotive & Car Research Institude, China Academy of Railway Sciences Corporation Limited,
Beijing 100081, China; 2. Beijing Zongheng Electro-mechanical Technology Co., Ltd.,
Beijing 100094, China)

Abstract: In high-power traction converter, SiC devices with many advantages such as fast switching speed, high temperature resistance and low switching loss are used to replace Si devices. The three-level active neutral-point-clamped (3L-ANPC) converter based on SiC devices can reduce the burden of heat dissipation system of the converter, realize the lightweight of the traction system, and improve the power density and overall efficiency of the converter. Four three-level ANPC converter topologies, including two SiC+Si hybrid 3L-ANPC topologies, all SiC 3L-ANPC topologies, were analyzed in detail. Combining the commutation process of the four topologies working under their respective optimal modulation strategies, the power loss and thermal balance characteristics of the different topologies were quantitatively analyzed and compared by simulation. The results show that the full SiC 3L-ANPC topology has the most balanced loss distribution and the highest working efficiency, and the 2-SiC hybrid 3L-ANPC topology has lower cost on the basis of ensuring performance, so it is a cost-effective choice for traction converters using SiC devices.

Key words: three-level active neutral-point-clamped (3L-ANPC) converter; loss analysis; pulse-width modulation (PWM); SiC

与传统硅(Si)器件相比,碳化硅(SiC)等宽禁 带功率器件具有开关速度快、耐高温、开关损耗 低的优势,在促进低碳交通系统的建立方面优势 明显。目前大功率电力机车的交流传动部分的牵引变流器主要采用传统的基于Si器件的两电平结构,如图1所示。若在单相整流器以及三相

基金项目:国铁集团系统性重大课题(P2020J023)

逆变器中,将Si器件替换成SiC功率器件,能够大 大减轻散热系统的负担,有效提升牵引传动系 统的工作效率,同时实现轨道交通牵引系统的轻量化^[1-2]。

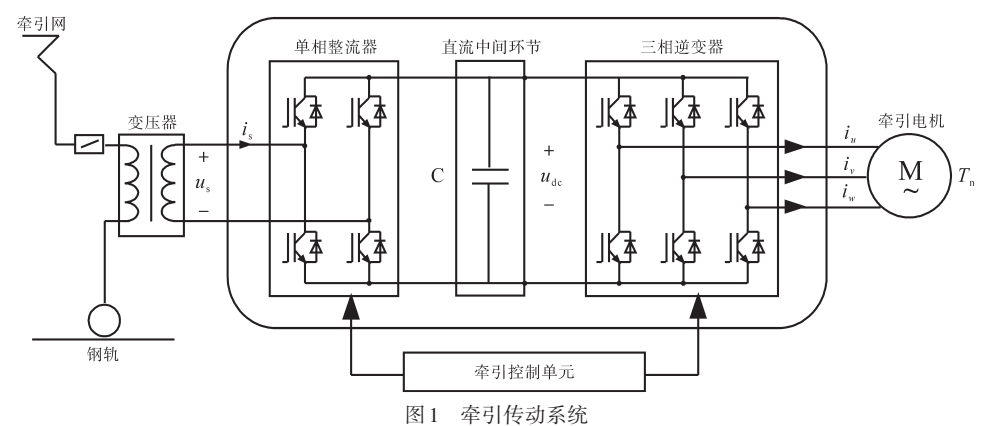


Fig.1 Traction drive system

多电平变换器相比于传统两电平变换器输出谐波含量减少、开关管耐压等级低、dv/dt 较低、效率高^[3],在牵引传动系统中应用优势明显。在实际的牵引传动系统中,二极管中点钳位型(neutral-point-clamped, NPC)三电平变换器(3L-NPC)是最为常用的一种多电平拓扑。但传统的3L-NPC变换器中存在内管无法可靠钳位、功率损耗分布不均衡等问题。有源中点钳位型(active-neutral-point-clamped, ANPC)三电平逆变器拓扑通过利用有源开关器件取代3L-NPC中的两个钳位二极管,使零电平状态增至多种,大大提高了逆变器选择换流回路的灵活度,进而通过控制逆变器开关器件的损耗分布,达成内外管的功率损耗平衡^[4-5]。

目前商用SiC器件的耐压还不足以满足大功 率牵引变流器的需要,采用三电平的结构是非常 必要的。同时SiC器件的成本仍然较高,若将3L-ANPC中的开关管全部换成SiC器件,制造成本将 会大幅度增加。为了在尽量降低制造成本的同 时,充分发挥SiC器件在开关频率和散热上的优 势,提高系统功率密度,在3L-ANPC拓扑的基础 上,众多国内外学者提出了利用SiC MOSFET器 件替代部分 Si IGBT 器件的改进型三电平 ANPC 拓扑。文献[6]提出了一种将两个内管替换成SiC MOSFET的 2-SiC 混合型三电平 ANPC 拓扑结构, 针对该拓扑结构提出一种专门的调制策略,并在 此调制策略下完成了对该混合型、全Si型以及全 SiC 型三种 3L-ANPC 拓扑的损耗分布状态以及工 作效率对比分析。文献[7-8]提出一种将两个外 管以及两个钳位管替换成 SiC MOSFET 的 4-SiC 混合型三电平ANPC拓扑结构。针对该混合型拓 扑结构提出了两种调制策略,并对两种调制策略 进行了对比分析,选出了一种最适用于该混合拓 扑的调制策略。文献[9]完成了前面两种混合型 三电平ANPC拓扑的工作效率以及热平衡分析对 比。文献[10]提出一种将两个外管替换成SiC MOSFET的 2-SiC 混合型三电平 ANPC 拓扑结构, 针对该拓扑结构提出了一种专门的调制策略。 在该调制策略下,完成了对该混合型、全Si型以及 全SiC 型三种 3L-ANPC 拓扑的损耗状态以及工作 效率对比分析。但该拓扑结构只适用于Si IGBT 器件的反并联二极管开关损耗很小的情况,优势 不明显。文献[11]提出一种全SiC型三电平ANPC 拓扑及其调制策略,详细分析了该拓扑的优势,完 成了对全SiC型三电平ANPC拓扑、全Si型三电平 ANPC拓扑、三电平NPC拓扑以及三电平层叠NPC (stacked NPC, SNPC)拓扑工作效率以及各器件 损耗分布的比较。然而,该文献中对4-SiC混合 型 3L-ANPC 拓扑、2-SiC 混合型 3L-ANPC 拓扑、全 Si型以及全SiC型3L-ANPC拓扑等不同拓扑形式 所进行的效率、热平衡、功率密度等方面的定量 分析比较并非在各自的最优调制策略下进行,同 时也没有考虑牵引变流器的特殊应用需求,无法 准确对比各拓扑形式的性能,寻找更适用于不同 功率等级下的牵引传动系统的拓扑形式。

本文从不同拓扑形式的三电平ANPC拓扑的 换流回路出发,对4种调制策略进行研究,分析了 每种调制策略所适用的三电平ANPC拓扑;对不 同拓扑结构在其最优调制策略下的成本、热平衡 特性、工作效率等性能指标进行了定量分析比 较,为下一代高速动车组牵引变流器选择基于 SiC的三电平ANPC拓扑方案提供参考。

1 三电平ANPC拓扑结构

全Si型3L-ANPC单相拓扑结构如图2所示,每相由6个主动型开关管 $S_1 \sim S_6$ 及其反并联二极管 $D_1 \sim D_6$ 组成。假设其直流母线侧电压为 V_{dc} ,上、下两电容电压平衡,则所有开关器件理论上承受的电压应力为 $V_{dc}/2$ 。每相输出的电平状态有P,O,N三种(对应输出电压分别为 $V_{dc}/2,0$, $-V_{dc}/2$),其中,输出P,N两种电平的开关状态各有一种,输出电平为O时常用的开关状态有3种(OU:上半桥臂开通开关管数量更多;OL:下半桥臂开关管开通数量更多;OO:上、下桥臂开关管开通数量相等),如表1所示。

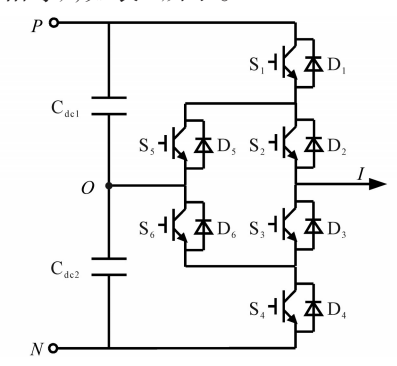


图2 全Si型3L-ANPC单相拓扑结构

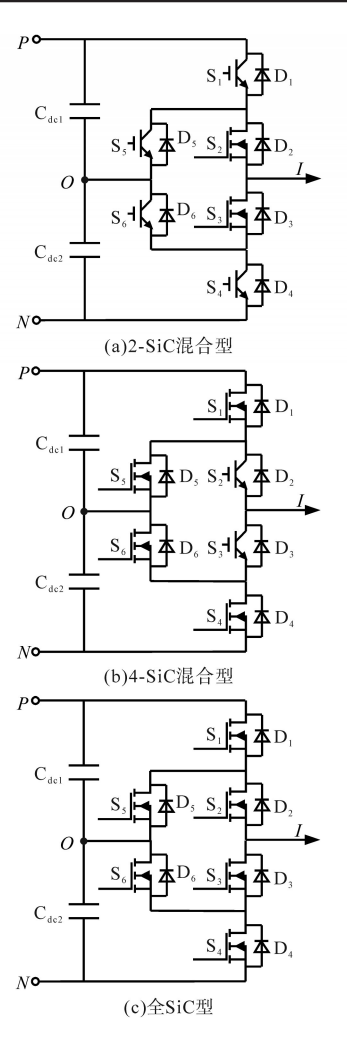
Fig.2 Full-Si 3L-ANPC single-phase topology

表1 开关状态与输出电平关系

Tab.1 Relationship between switching state and output level

开美状态	S_1	\mathbf{S}_2	S_3	S_4	S_5	S_6
P	1	1	0	0	0	1
OU	0	1	0	1	1	0
00	0	1	1	0	1	1
OL	1	0	1	0	0	1
N	0	0	1	1	1	0

通过选择上述三种不同的零电平状态与P状态和N状态进行切换,可以得到不同的调制策略。不同调制策略下,各开关器件的开关频率不同。利用SiC MOSFET 器件开关频率高且开关损耗低的特点,结合下一节中所述的不同调制策略,将高频动作的Si IGBT 替换成SiC MOSFET,构造出三种基于SiC器件的3L-ANPC拓扑,如图3所示。其中,图3a为2-SiC混合型三电平ANPC拓扑,由4个Si IGBT和2个SiC MOSFET组成;图3b为4-SiC混合型三电平ANPC拓扑,由2个Si IGBT和4个SiC MOSFET组成;图3c为全SiC型三电平ANPC拓扑,由6个SiC MOSFET组成。



2 三电平ANPC调制策略

针对前文所述的不同3L-ANPC变换器拓扑结构,在不同的调制策略下其开关器件损耗分布和整体效率等具有明显差别。因此需要对不同调制策略的特点及其对于不同拓扑结构的适用性进行分析。

2.1 ANPC调制策略1

该调制策略基于载波同相层叠调制,其基本原理是在调制波 u_o 为正时,输出电平进行P和OL的转换,而调制波 u_o 为负时,输出电平进行N和OU的转换。PWM脉冲生成原理如图4所示。图中, u_o 为调制波, u_c 为上载波, u_c 为下载波, u_s (s=1,2,3,4,5,6)为开关管门极信号。

在此调制策略下,开关管 S_1 , S_4 , S_5 和 S_6 以基波电压频率进行动作,而开关管 S_2 和 S_3 则以载波频率进行动作。因此,该调制策略适用于2-SiC型混合ANPC拓扑(见图3a)。

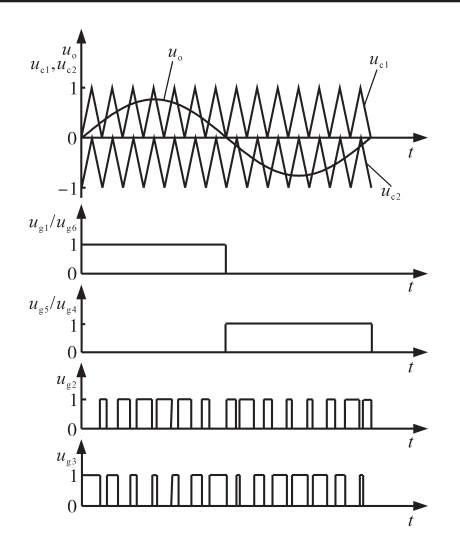


图 4 PWM脉冲生成原理图(调制策略 1)
Fig.4 The generation of PWM pulse schematic
(modulation strategy 1)

2.2 ANPC调制策略 2

此调制策略下,在调制波u。为正时,输出电平进行P和OU的转换,而调制波u。为负时,输出电平进行N和OL的转换。该策略的PWM脉冲生成原理如图5所示。

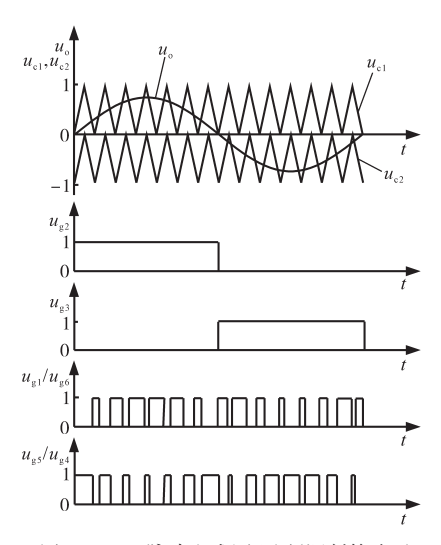


图 5 PWM 脉冲生成原理图(调制策略 2)
Fig.5 The generation of PWM pulse schematic
(modulation strategy 2)

在这种调制策略下,开关 S_1 , S_4 , S_5 和 S_6 以载波频率进行动作,而开关 S_2 和 S_3 则以基波频率进行动作。因此,该调制策略适用于4-SiC型混合ANPC拓扑(见图3b)。4-SiC混合型三电平ANPC拓扑在此调制策略下,输出电压与负载电流同相,输出电平状态为P时,开关管 S_1 , S_2 和 S_6 开通,负载电流流经开关管 S_1 和 S_2 。切换到OU电平状态后,开关管 S_1 和 S_6 关断, S_5 和 S_4 开通,负载电流流经开关管 S_1 和 S_6 ,新 S_5 和 S_4 ,负载电流流经开关管 S_5 0,输出电压与负载电流反相,

输出电平状态为P时,负载电流流经开关管 S_1 和反并联二极管 D_2 。切换到OU电平状态后,开关管 S_1 和 S_6 关断, S_5 和 S_4 开通,负载电流流经开关管 S_5 和 S_3 。

通过分析上述换流回路可知,4-SiC 混合型 三电平 ANPC 拓扑在此调制策略开关损耗集中 在开关管S₁,S₄,S₅及S₆上。

综上所述,两种混合拓扑的负载电流通路总是流经一个Si器件和一个SiC器件。在工况相同的情况下,两种混合拓扑的导通损耗大小基本相等。且两种混合拓扑中,开关动作基本全部集中到SiC MOSFET器件上,每次进行换流时,均是两个SiC MOSFET器件存在开关动作。在载波频率一致的情况下,两种混合拓扑的开关损耗相等。因此,两种混合拓扑的总功率损耗基本一致。

2.3 ANPC调制策略3

此调制策略下,在调制波 u。为正时,输出电平进行 P和OO的转换,而调制波 u。为负时,输出电平进行 N和OO的转换。该策略的 PWM 脉冲生成原理如图 6 所示。

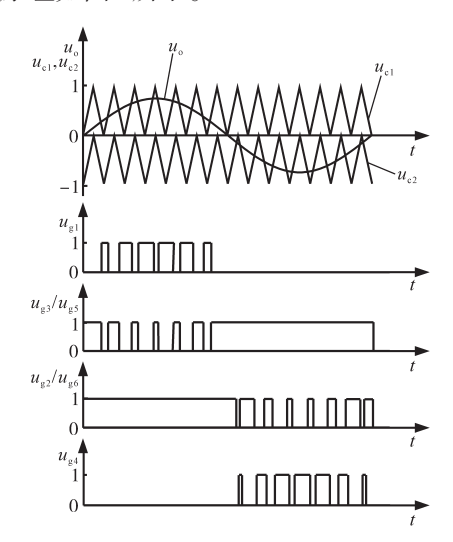


图 6 PWM 脉冲生成原理图(调制策略 3)
Fig.6 The generation of PWM pulse schematic
(modulation strategy 3)

此调制策略下,开关S₁和S₅及S₆和S₄,高频开关,动作互补;开关S₃和S₅及S₆和S₂,高频开关,动作相同。同时,此调制策略下,在输出0电平时,存在并行环路。此时,通态损耗有所降低,开关损耗也将分散到两个器件上。若将此调制策略用于全Si型3L-ANPC变换器中,Si IGBT器件存在初始导通压降,并行环路并不能使输出0电平时的通态损耗明显降低。SiC MOSFET器件不存在初始导通压降,若采用此调制策略用于全SiC

型三电平 ANPC 拓扑(见图 3c 所示),输出 0 电平时产生的通态损耗几乎降低为调制策略 1,2下的50%,导通损耗大大降低。因此,此调制策略更适用于全 SiC 型三电平 ANPC 拓扑。

全 SiC 型三电平 ANPC 拓扑在此调制方式下,输出0电平时,存在并行环路,开关管 S_2 , S_3 , S_5 和 S_6 的开关损耗基本只为 S_1 或 S_4 的 50%,与两种混合拓扑的总开关损耗大小基本相等。同时,输出 0电平时的并行环路,使得导通损耗进一步降低。因此,全 SiC 型三电平 ANPC 拓扑总功率损耗更低,工作效率更高。

2.4 ANPC调制策略4

此调制策略是基于载波移相调制,与前面三种同相层叠调制策略不同,其两载波相位相差180°。输出电平切换方式可以看作是调制策略1和调制策略2的结合,即在正半周期P状态与OU和OL之间进行切换,在负半周期N状态与OU和OL之间进行切换。该策略的PWM脉冲生成原理如图7所示。

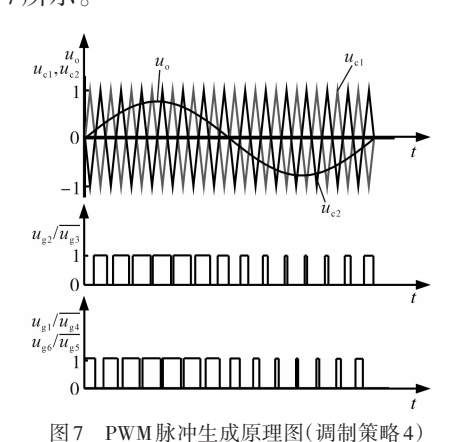


Fig. 7 The generation of PWM pulse schematic (modulation strategy 4)

该调制策略下,当 $u_0 > u_{c1}$ 时, S_2 导通, S_3 关断;当 $u_0 < u_{c1}$ 时, S_2 关断, S_3 导通;当 $u_0 > u_{c2}$ 时, S_1 和 S_6 导通, S_3 和 S_4 关断;当 $u_0 < u_{c2}$ 时, S_1 和 S_6 关断, S_5 和 S_4 导通。可以看到,该调制策略下所有开关器件均以载波频率进行动作。在全 S_1 型三电平 ANPC 拓扑下,此调制策略损耗分布更均衡 [5]。但 MOSFET 的同步整流特性,使得全 S_1 区型三电平 ANPC 拓扑的损耗几乎全部集中在 MOSFET 本身上。

以上半桥臂为例进行分析,在调制波正半周期,输出P和0电平时,电流均会流过S₂。全SiC型三电平ANPC拓扑采用调制策略3和调制策略4时两内管的开关损耗大小基本相等。但调制策

略3存在并行环路,应用在全SiC型三电平ANPC 拓扑下,优势更明显。

全Si型三电平ANPC拓扑在此调制策略下, 开关动作分散在6个Si器件上。但SiIGBT器件本身开关损耗高,同时存在初始饱和压降,导通损耗也比其他三种拓扑高。因此,4种拓扑结构中,全Si型三电平ANPC拓扑功率损耗最高,工作效率最低。

3 损耗模型构建

为比较上述4种三电平ANPC变换器损耗分布以及工作效率差异,本文将在不同开关频率和功率因数下进行理论功耗分析,给出4种三电平ANPC变换器拓扑的功率损耗分布情况。

3.1 器件选型

由于拟建造的样机负载电流的峰值可达到550 A,为保证样机安全可靠运行,我们选用了额定电压3300 V、额定电流600 A的Si器件和额定电压3300 V、额定电流750 A的SiC器件,型号如表2所示。

表 2 器件选型 Tab.2 Device selection

器件类型	芯片型号	额定电压/V	额定电流/A
Si IGBT	CM600DA-66X	3 300	600
SiC MOSFET	FMF750DC-66A	3 300	750

在此器件选择的基础上,给出了4种三电平ANPC 拓扑结构下各开关管的选型,如表3所示。可以看出,全SiC型ANPC单相拓扑使用6个SiCMOSFET器件,总成本最高。2-SiC混合型ANPC单相拓扑使用了2个SiCMOSFET器件和4个SiIGBT器件,成本是使用SiC器件的三个拓扑中最低的。

表3 拓扑器件组成

 $Tab. 3 \quad Topological\ component\ composition$

拓扑类型	Si IGBT	SiC MOSFET	
全Si型ANPC	S ₁ ,S ₂ ,S ₃ ,S ₄ ,S ₅ ,S ₆	无	
全SiC型ANPC	无	$S_1, S_2, S_3, S_4, S_5, S_6$	
2-SiC 混合型 ANPC	S_1, S_4, S_5, S_6	S_2, S_3	
4-SiC 混合型 ANPC	S_2, S_3	S_1, S_4, S_5, S_6	

3.2 损耗模型构建

为分析比较4种ANPC拓扑结构在热平衡分布以及工作效率的优缺点,构建功率损耗模型。

3.2.1 通态损耗模型

器件的通态损耗是指器件在导通过程中由于存在饱和压降和导通电阻而产生的静态损耗。半导体器件的通态压降可以采用已被广泛接受的分段线性化拟合模型来表示[12-14],因此,可以得到IGBT, Diode 以及 MOSFET 的通态能量损耗公式分别为

$$P_{\text{con IGBT}} = V_{\text{ce0}} i_{c} + r_{\text{ce}} i_{c}^{2} \tag{1}$$

$$P_{\text{con Diode}} = V_{\text{F0}} i_{\text{F}} + r_{\text{F}} i_{\text{F}}^2 \tag{2}$$

$$P_{\text{con MOS}} = v_{\text{DS}} i_{\text{p}}^2 \tag{3}$$

式中: V_{ce0} 为IGBT的初始饱和压降; i_c 为IGBT的导通电流; r_c 为IGBT的等效导通电阻; V_{F0} 为二极管的初始饱和压降; i_F 为二极管的导通电流; r_F 为二极管的等效导通电阻; v_{DS} 为MOSFET的饱和压降; i_D 为MOSFET的导通电流。

3.2.2 开关损耗模型

开关能量损耗 $E_{\text{sw_on/off}}$ 与流经器件电流i、关断电压 U_{de} 、器件结温 T_{j} 以及栅极电阻 R_{g} 有关 $^{[6,14]}$ 。为简化模型,使损耗计算结果更具可靠性,栅极电阻与器件结温选择与数据手册中推荐的结果保持一致,可得:

$$E_{\text{sw_on}} = (k_{\text{sw_on_a}} \cdot i^2 + k_{\text{sw_on_b}} \cdot i + k_{\text{sw_on_c}}) \cdot \frac{U_{\text{dc}}}{U_{\text{dc_ref}}}$$

$$(4)$$

$$E_{\text{sw_off}} = (k_{\text{sw_off_a}} \cdot i^2 + k_{\text{sw_off_b}} \cdot i + k_{\text{sw_off_c}}) \cdot \frac{U_{\text{dc}}}{U_{\text{dc_ref}}}$$

$$(5)$$

$$E_{\rm rr} = (k_{\rm rr_a} \cdot i^2 + k_{\rm rr_b} \cdot i + k_{\rm rr_c}) \cdot \frac{U_{\rm dc}}{U_{\rm dc_ref}}$$
 (6)

式中: $U_{\text{dc_ref}}$ 为器件数据手册中的测试电压; E_{rr} 为反并联二极管的反向恢复能量损耗; $k_{\text{sw_on_al_ble}}$, $k_{\text{sw_on_al_ble}}$, $k_{\text{rr_al_ble}}$ 分别为利用曲线拟合工具得到的开通能量损耗与流经器件电流的拟合系数、关断能量损耗与流经器件电流的拟合系数以及二极管反向恢复能量损耗与流经器件电流的拟合系数。

之后,对每个基波周期的所有开关损耗进行积分求平均值,得到各器件每个基波周期的平均 开关损耗。

4 损耗分析及比较

根据前文损耗模型构建结果,利用专业仿真软件搭建三电平ANPC变换器功率损耗计算仿真模型。为比较4种拓扑结构在MW功率级别下的牵引传动系统中的损耗分布情况,下面以牵引变

流器中的四象限整流器为例,进行仿真比较,变流器的工作参数为:母线电压侧电压 V_{de} =3 600 V,载波频率 f_{e} =500 Hz/2 000 Hz,调制比m=0.8,输出电流峰值550 A,功率因数PF=1/-1,结温 T_{i} =150 \mathbb{C} 。

Si 器件和 SiC 器件均选择工作在极端结温 $T_j=150$ ℃下。这种条件下,得到的热平衡结果将是最极端的。大功率牵引传动系统中,功率器件的开关频率较低(250~550 Hz)。为充分利用 SiC 器件的高频率特性,同时比较高频和低频下各拓扑结构的损耗分布特点,选择了 500 Hz 和 2 000 Hz 两种开关频率。同时由于采用调制策略 4 的三电平 ANPC 拓扑以载波频率 f_c 工作时,输出相电压具有 $2f_c$ 的视在频率。因此,在采用调制策略 4 的三电平 ANPC 拓扑的载波频率调整为其他调制策略的 1/2。下面对 4 种三电平 ANPC 拓扑的损耗分布仿真结果进行对比分析。

在三电平 ANPC 变换器结构中,可将其分为上、下桥臂,且上、下桥臂对称分布,损耗相同。因此,只列出上半桥臂各开关管的损耗。图 8是在输出相电压的视在频率为 2 000 Hz、功率因数为 1 的条件下,4 种三电平 ANPC 拓扑在各自最优的调制策略下的损耗分布图。从图 8 可以看出,

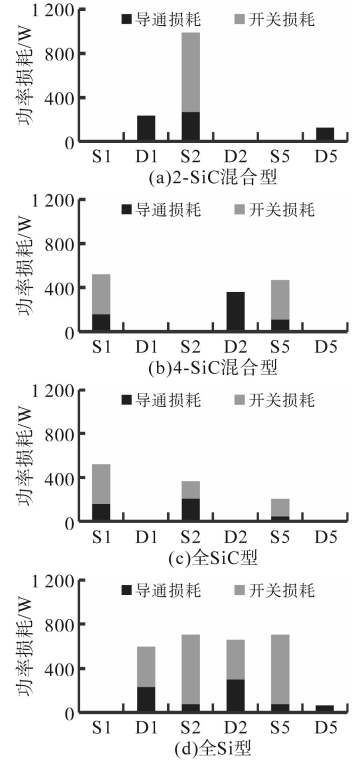


图 8 三电平 ANPC 变换器功率损耗分布图(f_c=2 000 Hz,PF=1) Fig. 8 Power loss distribution of 3L-ANPC converter (f_c=2 000 Hz,PF=1)

4-SiC 混合型 3L-ANPC 变换器和 2-SiC 混合型 3L-ANPC 变换器的开关损耗基本全部集中到 SiC MOSFET 器件上。全 SiC型 3L-ANPC 变换器和全 Si型 3L-ANPC 变换器的开关损耗分布分散,在6个管子上均存在,但全 SiC型 3L-ANPC 变换器损耗分布最均衡。与理论分析结果一致。

图9是在输出相电压的视在频率为2000 Hz 时,功率因数分别为1和-1的情况下,4种三电 平ANPC拓扑在各自最优的调制策略下的总损 耗分布对比图。基于 SiC MOSFET 器件的三种 3L-ANPC 拓扑与全 Si 型三电平 ANPC 拓扑相比, 优势明显,总功率损耗大大降低,工作效率显著 提升。在此工况下,4-SiC混合型3L-ANPC变换 器与2-SiC混合型3L-ANPC变换器相比,总功率损 耗基本相等,但损耗分布更均衡,但2-SiC混合型 3L-ANPC变换器的高功率损耗在两个SiC MOSFET 器件上。考虑到SiC器件的耐高温特性,不需要 使SiC MOSFET和Si IGBT的结温保持平衡,功率 损耗不均不再是问题。4种拓扑结构中,全Si型 三电平 ANPC 拓扑的总功率损耗最高的,全 SiC 型三电平ANPC拓扑总功率损耗最低,且损耗分 布最均衡,但价格成本最高。

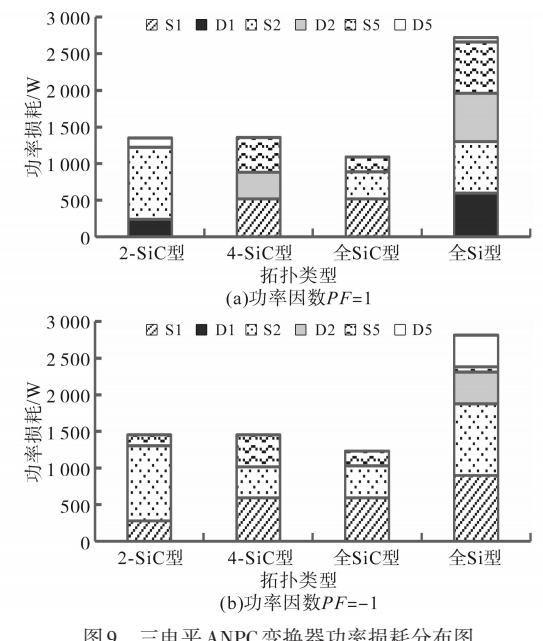


图 9 三电平 ANPC 变换器功率损耗分布图 $(f_c=2\ 000\ Hz, PF=1/-1)$

Fig.9 Power loss distribution of 3L-ANPC converter (f_c =2 000 Hz ,PF=1/-1)

图 10 是在输出相电压的视在频率为 500 Hz 时,功率因数分别为 1 和-1 的情况下,4种三电平 ANPC 拓扑在各自最优的调制策略下的总损耗分 布对比图。从图 10 可以看出,在低开关频率下, 全SiC型三电平ANPC拓扑的总功率损耗能够降低到全Si型三电平ANPC拓扑的50%,热平衡特性好,优势明显。但4-SiC混合型3L-ANPC变换器和2-SiC混合型3L-ANPC变换器相比,并无明显优势。

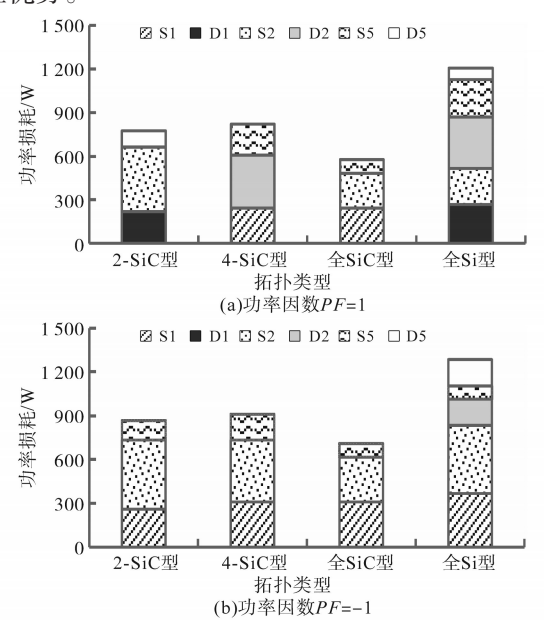


图 10 三电平 ANPC 变换器功率损耗分布图 (f_=500 Hz, PF=1/-1)

Fig.10 Power loss distribution of 3L-ANPC converter(f_o=500 Hz, PF=1/-1)

5 结论

本文对4种工作于各自最优调制策略下的三 电平 ANPC 拓扑结构(2-SiC 混合型、4-SiC 混合型、全 SiC型和全 Si型)的经济成本、损耗分布以 及工作效率等性能指标进行了详细的比较分析。 研究结果表明:

- 1)基于SiC器件的3L-ANPC变换器与传统全Si型3L-ANPC变换器相比,尤其在高开关频率下,开关损耗显著降低,工作效率大大提升,且热平衡效果优势明显;
- 2)两种混合拓扑总开关损耗、导通损耗均基本相同,工作效率基本相同。4-SiC混合型3L-ANPC变换器的热平衡特性优于2-SiC混合型3L-ANPC变换器。但在低开关频率下,4-SiC混合型3L-ANPC变换器的优势并不明显。若在低开关频率下,考虑平衡性能和成本,2-SiC混合型3L-ANPC变换器是最优的选择;
- 3)在不考虑经济效益的情况下,全SiC型 3L-ANPC变换器工作效率最高,热平衡效果最好。 综上,基于SiC器件的3L-ANPC变换器是一

种高效率且高功率密度的电路拓扑,在牵引传动 系统中应用具有明显的优势。

参考文献

- [1] 赵炫,蒋栋,刘自程,等. SiC 功率器件在轨道交通行业中的应用[J]. 机车电传动,2020(1):38-44.

 ZHAO Xuan, JIANG Dong, LIU Zicheng, et al. Application of silicon carbide power devices in rail transit[J]. Electric Drive for Locomotives, 2022(1):38-44.
- [2] MILLAN J, GODIGNON P, PERPINA X, et al. A survey of wide bandgap power semiconductor devices[J]. IEEE Transactions on Power Electronics, 2014, 29(5):2155-2163.
- [3] 李永东,徐杰彦,杨涵棣,等. 多电平变换器拓扑结构综述及 展望[J]. 电机与控制学报,2020,24(9):1-12. LI Yongdong, XU Jieyan, YANG Handi, et al. Overview and prospect of multilevel converter topology[J]. Electric Machines and Control,2020,24(9):1-12.
- [4] BRUCKNER T, BERNET S, GULDNER H. The active NPC converter and its loss-balancing control[J]. IEEE Transactions on Industrial Electronics, 2005, 52(3);855–868.
- [5] FLORICAU D, POPESCU C-L, POPESCU M-O, et al. A comparison of efficiency for three-level NPC and active NPC voltage source converters[C]//2009 Compatability and Power Electronics, 2009:331–336.
- [6] GUAN Q X, LI C, ZHANG Y, et al. An extremely high efficient three-level active neutral-point-clamped converter comprising SiC and Si hybrid power stages[J]. IEEE Transactions on Power Electronics, 2018, 33(10):8341-8352.
- [7] ZHANG D, HE J B, PAN D. A megawatt-scale medium-voltage high-efficiency high power density "SiC + Si" hybrid three-level propulsion systems[J]. IEEE Transactions on Industry Applications, 2019, 55(6):5971-5980.

- [8] HE J B, ZHANG D, PAN D. PWM strategy for MW-scale "SiC+Si" active NPC converter in electric aircraft propulsion applications[J]. IEEE Transactions on Industry Applications, 2021, 57 (3):3077-3086.
- [9] ZHANG L, LOU X T, LI C S, et al. Evaluation of different Si/SiC hybrid three-level active NPC inverters for high power density[J]. IEEE Transactions on Power Electronics, 2020, 35 (8):8224-8236.
- [10] FENG Z J, ZHANG X, WANG J X, et al. A high-efficiency three-level ANPC inverter based on hybrid SiC and Si devices [J]. Energies, 2020, 13(5):1159.
- [11] BARATER D, CONCARI C, BUTICCHI G, et al. Performance evaluation of a three-level ANPC photovoltaic grid-connected inverter with 650-V SiC devices and optimized PWM[J]. IEEE Transactions on Industry Applications, 2016, 52 (3): 2475– 2485.
- [12] FENG Z J, ZHANG X, YU S L, et al. Loss analysis and measurement of ANPC inverter based on SiC & Dybrid module [C]//2018 IEEE International Power Electronics and Application Conference and Exposition (PEAC), 2018:1-6.
- [13] 鲁光祝. IGBT 功率模块寿命预测技术研究[D]. 重庆:重庆大学,2012.
 LU Guangzhu. A study on the lifetime prediction technique for the IGBT power module[D]. Chongqing: Chongqing University, 2012.
- [14] 李哲, 厉成元, 袁媛, 等. 一种基于热阻抗模型的 IGBT 结温估计方法[J]. 电气传动, 2022, 52(19):53-59.

 LI Zhe, LI Chengyuan, YUAN Yuan, et al. An IGBT junction temperature estimation method based on the thermal impedance model[J]. Electric Drive, 2022, 52(19):53-59.

收稿日期:2022-09-29 修改稿日期:2022-10-20